

14,00 15,00 16,00 17,00 18,00
V1_{acel} (V)

Traçando o gráfico dos resíduos, em uma apresentação, reparamos que tem uma forma que se assemelha a uma parábola o que nos dá a entender que isso seria a melhor forma de representar os resultados com uma parábola, e não com uma reta.

Algoritmos signifi (atm) do Excel (-S)
Estimativa de incerteza (-S)
Trabalho 5 B 90%

→ Estudo de Comportamentos Viscoelásticos de uma Borracha Vulcanizada.

Objetivos:

- Verificar e estudar o acontecimento de 3 comportamentos viscoelásticos: histerese elástica; Creep; relaxação
- Calcular a energia de deformação elástica dissipada no processo carga - descarga
- identificar: tensão/deformação relativa para a histerese, e a evolução temporal da deformação, para o creep e a relaxação

- determinar os valores do módulo de Young

Procedimento

- medir o comprimento e as arestas da banda
- ter o prato sempre apoiado no suporte
- nunca deixar oscilar, caso contrário, repete-se a experiência.
- manter a escala vertical, e evitar qualquer tipo de inclinação
- colocar as massas uma a uma
- evitar a ocorrência de creep nesta fase



Dados a registrar:

- massa total suspensa
- L_0 → comprimento inicial
- L → comprimento
- a, b → arestas

Para o creep: medir entre 200 100 g e gravar a deformação que acontece ao longo do tempo

Para o relaxação: fazer o mesmo processo do creep, mas só com uma ou nenhuma massa

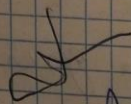
Ju

No laboratório:

5 mm?

incerteza de leitura: $\pm 0,5 \text{ cm}$

m (g)	L_0 (cm)	L (cm)	a (mm) ($\pm 0,5$)	b (mm) ($\pm 0,5$)
10,0	379,0	383,5	2 mm	2 mm
20,0	384,0	391,5		
30,0	390,0	397,5		
40,0	396,0	409,5		
50,0	404,5	420,0		
60,0	414,5	432,5		
70,0	426,5	445,5		
80,0	439,0	459,0		
90,0	453,0	473,5		
100,0	469,0	487,0		
110,0	486,0	501,5		
120,0	505,0	515,0		
130,0	523,5		1 mm	1 mm
140,0				



Análise de dados

→ Para o estudo da histerese:

Usando a segunda lei de Newton, obtemos a força aplicada à borracha com $F = ma$, com $a = g = 9,81 \text{ m/s}^2$

Área de secção da borracha: $S = ab$

Tensão: $\frac{F}{S}$

m (g)
10
20
30
40
50
60
70
80
90
100
110
120
130

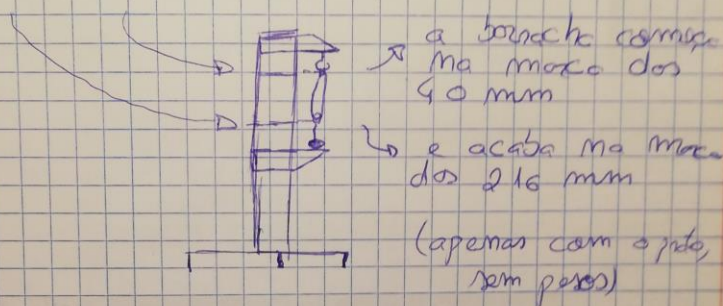
Deformação:

- No processo de carga: $(\Delta L_c - 379,0) \times 10^{-3}$

- No processo de descarga: $(\Delta L_d - 379,0) \times 10^{-3}$

Comprimento inicial da barra:

$$L_i = 216 - 40 = 176 \text{ mm}$$



Comprimento final:

$$L_f = L_i + \sum_{i=1} \Delta L_{c,i}$$

$$\Rightarrow L_f = 176 + \sum_{i=1} \Delta L_{c,i}$$

E assim, com os valores medidos no laboratório e as ~~formulas~~ formulas apresentadas, criamos esta tabela no excel.

m (g)	F (N)	τ (Pa)	L_i (mm)	L_f (mm)	ΔL_c (m)	ΔL_d (m)	a (mm)	b (mm)	S (m ²)	L (mm)	F carga ajuste (N)	F descarga ajuste (N)	F carga resíduos	F descarga resíduos
			$u(L_i)=0.5 \text{ mm}$	$u(L_f)=0.5 \text{ mm}$			$u(a)=0.5 \text{ mm}$	$u(b)=0.5 \text{ mm}$						
10	9.81E-02	2.45E+04	379.0	383.5	0	0.0045	2	2	4.00E-06	176	1.16E-01	9.88E-02	-1.82E-02	-6.79E-04
20	1.96E-01		384.0	391.5	0.005	0.0125					1.98E-01	1.98E-01	-1.53E-03	-2.20E-03
30	2.94E-01		390.0	399.5	0.011	0.0205					2.88E-01	2.89E-01	5.93E-03	4.92E-03
40	3.92E-01		395.0	409.5	0.017	0.0305					3.72E-01	3.92E-01	2.07E-02	9.51E-03
50	4.91E-01		404.4	432.5	0.0254	0.0410					4.77E-01	4.89E-01	1.84E-02	1.22E-03
60	5.89E-01		414.5	445.5	0.0355	0.0535					5.88E-01	5.93E-01	7.52E-04	4.08E-03
70	6.87E-01		426.5	459.0	0.0475	0.0665					7.00E-01	6.90E-01	-1.32E-02	-3.17E-03
80	7.85E-01		439.0	473.5	0.06	0.0800					7.98E-01	7.84E-01	-1.91E-02	-1.11E-03
90	8.83E-01		453.0	487.0	0.074	0.0945					8.90E-01	8.81E-01	-7.24E-03	-1.59E-03
100	9.81E-01		469.0	501.5	0.09	0.1080					9.80E-01	9.74E-01	6.85E-04	7.12E-03
110	1.08E+00		486.0	515.0	0.107	0.1225					1.07E+00	1.08E+00	1.12E-02	-1.07E-03
120	1.18E+00		503.0	523.5	0.126	0.1360					1.17E+00	1.19E+00	8.50E-03	-1.29E-02
130	1.28E+00	1.28E+06	523.5	523.5	0.1445	0.1445	1	1	1.00E-06	320.5	1.28E+00	1.27E+00	-8.25E-03	8.46E-03

Tabela 1

Criamos o seguinte gráfico, onde plotamos a força em função da deformação, tanto no caso da carga (a azul), como da descarga (a vermelha)

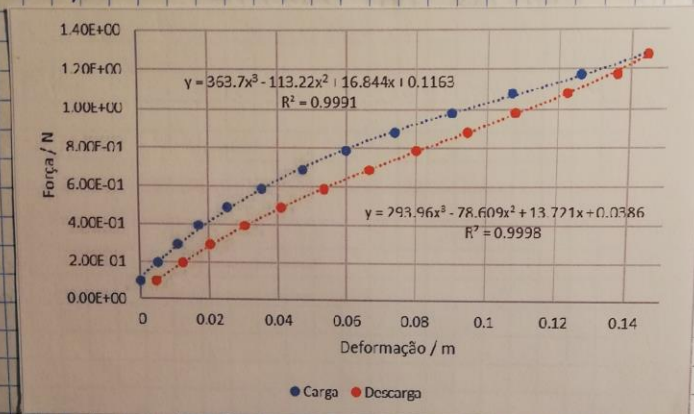


gráfico 1

No gráfico 1, o ajuste feito foi um ajuste polinomial de grau 3.

Este ajuste tem os seguintes coeficientes

polinômio do

	x^3	x^2	x	c
Equação carga	363.7	-113.22	16.844	0.1163
Equação descarga	293.96	-78.609	13.721	0.0386

algumas informações significativas. tabela 2

A energia total é dada pela área sob as curvas.

$$E_{\text{carga}} = \int_0^{0.145} (363.7x^3 - 113.22x^2 + 16.844x + 0.1163) dx = 0.118 \text{ J}$$

$$E_{\text{descarga}} = \int_{0.045}^{0.145} (293.96x^3 - 78.609x^2 + 13.721x + 0.0386) dx = 0.102 \text{ J}$$

A energia dissipada é dada pela diferença das duas energias, que é a área entre as curvas.

$$E_{\text{dissipada}} = 0,112 \text{ J} - 0,102 \text{ J} = 0,016 \text{ J}$$

Criamos o gráfico de resíduos com ~~os~~ a diferença entre os valores de força experimentais, e os obtidos pelo ajuste

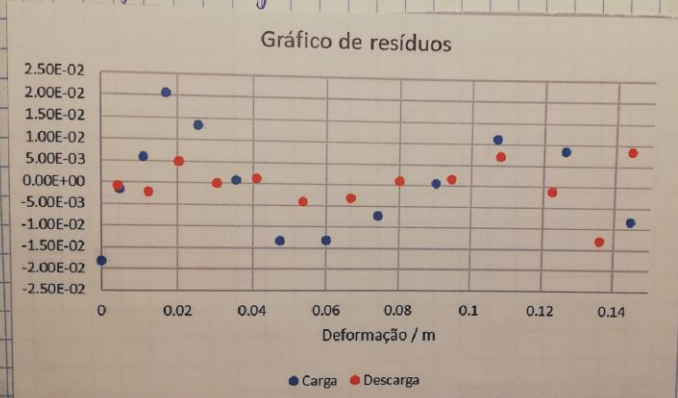


gráfico α

Vemos que o ajuste é adequado, já que os resíduos se distribuem de forma aleatória

Lei de Hooke: $\tau = E \lambda$; $\lambda = \frac{\Delta L}{L_0}$; $\tau = \frac{F}{S}$

(1) $F = \tau S$
 (2) $F = E \lambda S$

$\Rightarrow (1) F = \frac{\Delta L}{L_0} \cdot E \cdot S$

declive da reta \rightarrow (1) $\frac{F}{\Delta L} = \frac{E S}{L_0}$

(2) $E = \frac{m L_0}{S}$

O ajuste tem equação $ax^3 + bx^2 + cx + d$ e
 Logo, a derivada é $3ax^2 + 2bx + c$

Neste caso, x é o ΔL

Usando diferentes valores de ΔL , calculamos
 vários valores de declives de retas tangentes ao gráfico
 do ajuste, calculando assim vários valores do
 módulo de Young (tabela 4)

Declive carga	Declive descarga	E carga	E descarga
1.68E+01	1.30E+01	7.41E+05	5.73E+05
1.57E+01	1.19E+01	6.93E+05	5.23E+05
1.45E+01	1.09E+01	6.37E+05	4.78E+05
1.33E+01	9.75E+00	5.86E+05	4.29E+05
1.18E+01	8.76E+00	5.19E+05	3.85E+05
1.02E+01	7.83E+00	4.48E+05	3.45E+05
8.55E+00	7.17E+00	3.76E+05	3.15E+05
7.19E+00	6.79E+00	3.16E+05	2.99E+05
6.06E+00	6.74E+00	2.67E+05	2.97E+05
5.30E+00	7.03E+00	2.33E+05	3.09E+05
5.11E+00	7.70E+00	2.25E+05	3.39E+05
5.63E+00	8.65E+00	2.48E+05	3.81E+05
6.91E+00	9.42E+00	3.04E+05	4.14E+05

tabela 3

tabela 4

Depois, com os valores da tabela 4, criamos o
 gráfico 3:

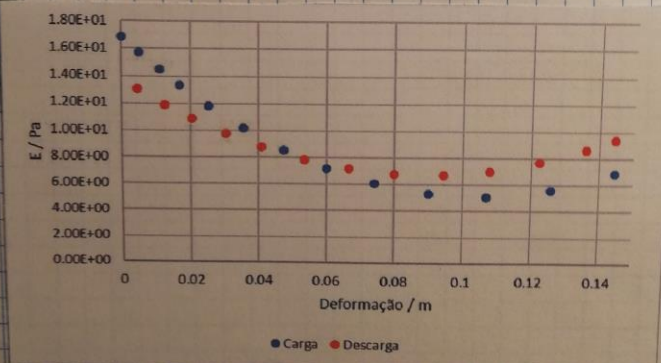


gráfico 3

Percebemos assim que a borracha não segue a Lei
 de Hooke

Passando agora para o estudo do creep:

Para obter estes valores, pusemos 80g no prato preso ao elástico.

Colocamos cerca de 12 minutos do movimento do elástico.

Mais tarde, analisamos o vídeo, anotando o comprimento do sistema de 10 em 10 segundos.

Tempo (s)	L (mm)	ΔL (m)	$\ln((\Delta L - \Delta L_0)/\Delta L_0)$	$\ln((\Delta L - \Delta L_0)/\Delta L_0)$ ajuste	resíduos $\ln((\Delta L - \Delta L_0)/\Delta L_0)$	ΔL (m) ajuste	resíduos ΔL (m)
40	443	0	0.00E+00	-1.82E-01	1.82E-01	6.3E-03	-6.35E-03
50	444.5	1.5E-03	-2.29E-01	-2.27E-01	-2.06E-03	1.5E-03	1.20E-05
60	445	2.0E-03	-3.19E-01	-2.72E-01	-4.63E-02	1.7E-03	2.53E-04
70	445	2.0E-03	-3.19E-01	-3.18E-01	-9.71E-04	2.0E-03	5.18E-06
80	445.5	2.5E-03	-4.17E-01	-3.63E-01	-5.41E-02	2.2E-03	2.68E-04
90	445.5	2.5E-03	-4.17E-01	-4.08E-01	-8.72E-03	2.5E-03	4.23E-05
100	446	3.0E-03	-5.26E-01	-4.54E-01	-7.26E-02	2.7E-03	3.26E-04
110	446	3.0E-03	-5.26E-01	-4.99E-01	-2.72E-02	2.9E-03	1.20E-04
120	446	3.0E-03	-5.26E-01	-5.45E-01	1.81E-02	3.1E-03	-7.78E-05
130	446.5	3.5E-03	-6.49E-01	-5.90E-01	-5.92E-02	3.3E-03	2.34E-04
140	446.5	3.5E-03	-6.49E-01	-6.35E-01	-1.38E-02	3.4E-03	5.32E-05
150	446.5	3.5E-03	-6.49E-01	-6.81E-01	3.16E-02	3.6E-03	-1.19E-04
160	447	4.0E-03	-7.89E-01	-7.26E-01	-6.29E-02	3.8E-03	2.16E-04
170	447	4.0E-03	-7.89E-01	-7.71E-01	-1.76E-02	3.9E-03	5.90E-05
180	447	4.0E-03	-7.89E-01	-8.17E-01	2.78E-02	4.1E-03	-9.14E-05
190	447.5	4.5E-03	-9.52E-01	-8.62E-01	-8.95E-02	4.2E-03	2.65E-04
200	447.5	4.5E-03	-9.52E-01	-9.08E-01	-4.41E-02	4.4E-03	1.28E-04
210	447.5	4.5E-03	-9.52E-01	-9.53E-01	1.26E-03	4.5E-03	-3.57E-06
220	448	5.0E-03	-1.15E+00	-9.98E-01	-1.48E-01	4.6E-03	3.71E-04
230	448	5.0E-03	-1.15E+00	-1.04E+00	-1.02E-01	4.7E-03	2.51E-04
240	448	5.0E-03	-1.15E+00	-1.09E+00	-5.70E-02	4.9E-03	1.37E-04
250	448	5.0E-03	-1.15E+00	-1.13E+00	-1.16E-02	5.0E-03	2.73E-05
260	448	5.0E-03	-1.15E+00	-1.18E+00	3.37E-02	5.1E-03	-7.73E-05
270	448	5.0E-03	-1.15E+00	-1.23E+00	7.91E-02	5.2E-03	-1.77E-04
280	448	5.0E-03	-1.15E+00	-1.27E+00	1.25E-01	5.3E-03	-2.73E-04
290	448	5.0E-03	-1.15E+00	-1.32E+00	1.70E-01	5.4E-03	-3.64E-04
300	448	5.0E-03	-1.15E+00	-1.36E+00	2.15E-01	5.5E-03	-4.51E-04
310	448	5.0E-03	-1.15E+00	-1.41E+00	2.61E-01	5.5E-03	-5.35E-04
320	448	5.0E-03	-1.15E+00	-1.45E+00	3.06E-01	5.6E-03	-6.14E-04
330	448	5.0E-03	-1.15E+00	-1.50E+00	3.51E-01	5.7E-03	-6.90E-04
340	448.5	5.5E-03	-1.39E+00	-1.54E+00	1.55E-01	5.8E-03	-2.63E-04
350	448.5	5.5E-03	-1.39E+00	-1.59E+00	2.01E-01	5.8E-03	-3.33E-04
360	448.5	5.5E-03	-1.39E+00	-1.63E+00	2.46E-01	5.9E-03	-3.99E-04
370	448.5	5.5E-03	-1.39E+00	-1.68E+00	2.91E-01	6.0E-03	-4.63E-04
380	448.5	5.5E-03	-1.39E+00	-1.72E+00	3.37E-01	6.0E-03	-5.23E-04
390	448.5	5.5E-03	-1.39E+00	-1.77E+00	3.82E-01	6.1E-03	-5.81E-04
400	448.5	5.5E-03	-1.39E+00	-1.82E+00	4.28E-01	6.1E-03	-6.37E-04
410	448.5	5.5E-03	-1.39E+00	-1.86E+00	4.73E-01	6.2E-03	-6.90E-04
420	449	6.0E-03	-1.71E+00	-1.91E+00	1.99E-01	6.2E-03	-2.40E-04
430	449	6.0E-03	-1.71E+00	-1.95E+00	2.45E-01	6.3E-03	-2.88E-04
440	449	6.0E-03	-1.71E+00	-2.00E+00	2.90E-01	6.3E-03	-3.35E-04
450	449	6.0E-03	-1.71E+00	-2.04E+00	3.35E-01	6.4E-03	-3.79E-04
460	449	6.0E-03	-1.71E+00	-2.09E+00	3.81E-01	6.4E-03	-4.21E-04
470	449	6.0E-03	-1.71E+00	-2.13E+00	4.26E-01	6.5E-03	-4.61E-04
480	449	6.0E-03	-1.71E+00	-2.18E+00	4.71E-01	6.5E-03	-5.00E-04
490	449	6.0E-03	-1.71E+00	-2.22E+00	5.17E-01	6.5E-03	-5.37E-04
500	449	6.0E-03	-1.71E+00	-2.27E+00	5.62E-01	6.6E-03	-5.72E-04
510	449	6.0E-03	-1.71E+00	-2.31E+00	6.08E-01	6.6E-03	-6.06E-04
520	449	6.0E-03	-1.71E+00	-2.36E+00	6.53E-01	6.6E-03	-6.38E-04
530	449	6.0E-03	-1.71E+00	-2.41E+00	6.98E-01	6.7E-03	-6.68E-04
540	449	6.0E-03	-1.71E+00	-2.45E+00	7.44E-01	6.7E-03	-6.98E-04
550	449.5	6.5E-03	-2.18E+00	-2.45E+00	7.89E-01	6.7E-03	-7.26E-04
560	449.5	6.5E-03	-2.18E+00	-2.50E+00	8.34E-01	6.8E-03	-7.53E-04
570	449.5	6.5E-03	-2.18E+00	-2.54E+00	8.79E-01	6.8E-03	-7.78E-04
580	449.5	6.5E-03	-2.18E+00	-2.59E+00	9.24E-01	6.8E-03	-8.03E-04
590	449.5	6.5E-03	-2.18E+00	-2.63E+00	9.69E-01	6.8E-03	-8.26E-04
600	449.5	6.5E-03	-2.18E+00	-2.68E+00	1.014E+00	6.8E-03	-8.48E-04
610	449.5	6.5E-03	-2.18E+00	-2.72E+00	1.059E+00	6.8E-03	-8.70E-04
620	449.5	6.5E-03	-2.18E+00	-2.77E+00	1.104E+00	6.9E-03	-8.90E-04
630	449.5	6.5E-03	-2.18E+00	-2.81E+00	1.149E+00	6.9E-03	-9.10E-04
640	449.5	6.5E-03	-2.18E+00	-2.86E+00	1.194E+00	6.9E-03	-9.28E-04
650	449.5	6.5E-03	-2.18E+00	-2.90E+00	1.239E+00	6.9E-03	-9.46E-04
660	449.5	6.5E-03	-2.18E+00	-2.95E+00	1.284E+00	7.0E-03	-9.63E-04
670	449.5	6.5E-03	-2.18E+00	-3.00E+00	1.329E+00	7.0E-03	-9.80E-04
680	449.5	6.5E-03	-2.18E+00	-3.04E+00	1.374E+00	7.0E-03	-9.95E-04
690	449.5	6.5E-03	-2.18E+00	-3.09E+00	1.419E+00	7.0E-03	-1.010E-03
700	449.5	6.5E-03	-2.18E+00	-3.13E+00	1.464E+00	7.0E-03	-1.024E-03
710	450	7.0E-03	-3.10E+00	-3.18E+00	1.509E+00	7.0E-03	-1.037E-03
720	450	7.0E-03	-3.10E+00	-3.22E+00	1.554E+00	7.1E-03	-1.049E-03
730	450	7.0E-03	-3.10E+00	-3.27E+00	1.599E+00	7.1E-03	-1.061E-03

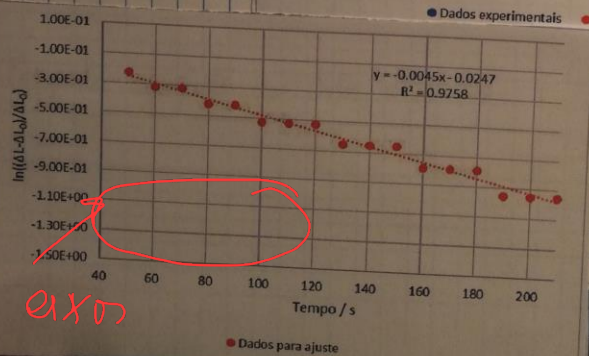
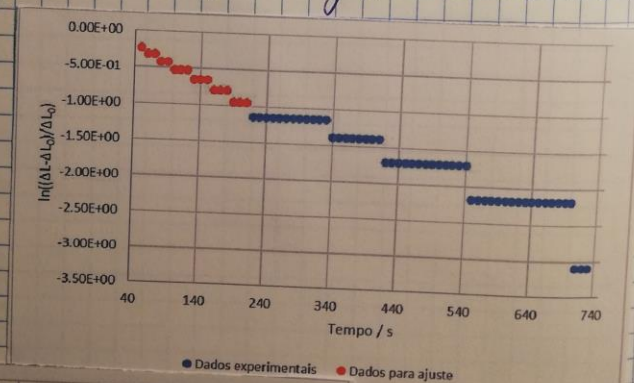
Exatidão 3

Durante o creep, a função $\Delta L(t)$ deve ter a forma: $\Delta L = \Delta L_0 (1 - e^{kt})$, $k < 0$, e ΔL_0 é a deformação final.

$$\begin{aligned}
 \text{Como } \frac{\Delta L_0 - \Delta L}{\Delta L_0} &= \frac{\Delta L_0 - \Delta L_0 (1 - e^{kt})}{\Delta L_0} \\
 &= \frac{\Delta L_0 (1 - (1 - e^{kt}))}{\Delta L_0} = e^{kt}
 \end{aligned}$$

então, $\ln\left(\frac{\Delta L_0 - \Delta L}{\Delta L_0}\right) = kt$

Sabendo isso, criamos o gráfico 4, onde plotamos $\ln\left(\frac{\Delta L_0 - \Delta L}{\Delta L_0}\right)$ em função do tempo, para que, através do ajuste linear, consigamos obter o valor de k .



m	-0.00453791	-0.02473	b
Δm	1.84E-04	0.02561	Δb
r²	0.975844261	0.037236	s _y

Para melhorar o ajuste, usamos um valor de ΔL_0 ligeiramente diferente, que está na tabela 6.

ΔL_0 (m)	0,00733
k	-0,00454

tabela 6

Assim, com o k obtido, e o ΔL_0 da tabela 6, temos:

$$\Delta L = 0,00733(1 - e^{-0,00454t})$$

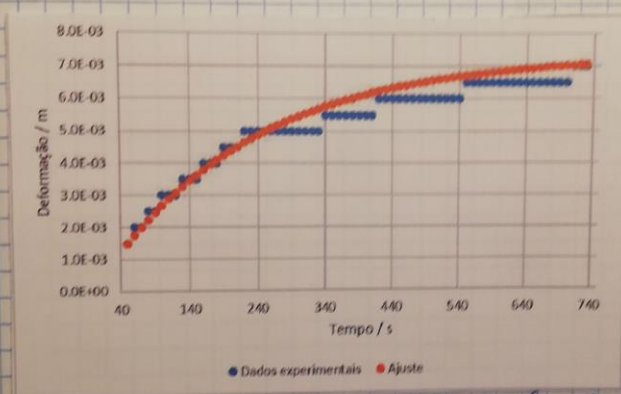


gráfico 6

Estudo da relaxação:

Fizemos este estudo de forma análoga ao do creep, mas desta vez com apenas o peso pendurado (sem log)

Registamos os valores na tabela 7 (página seguinte)

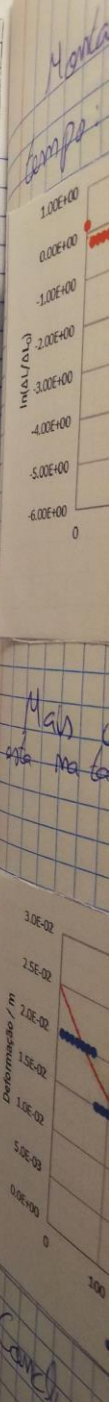
É esperado que: $\Delta L(t) = \Delta L_0 e^{kt}$, com $k < 0$, e ΔL_0 sendo a deformação inicial.

Temos que $\ln\left(\frac{\Delta L}{\Delta L_0}\right) = kt$, por isso podemos usar uma expressão linear, através da regressão linear, encontramos o valor de k .

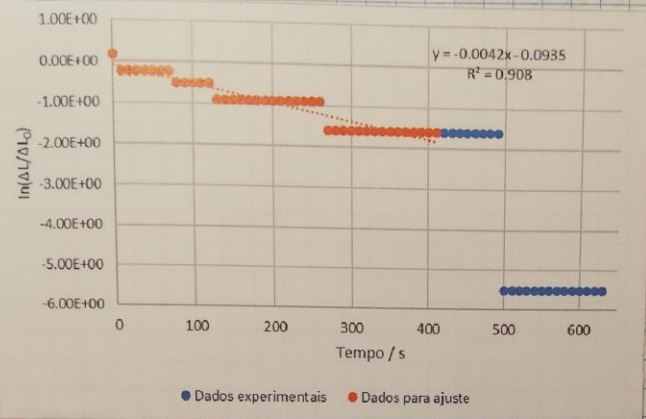
Tempo (s)	L (mm)	ΔL (m)	$\ln(\Delta L/\Delta L_0)$	$\ln(\Delta L/\Delta L_0)$	resíduos	ΔL (m)	resíduos
				ajuste	$\ln(\Delta L/\Delta L_0)$	ajuste	ΔL (m)
0	384	3.0E-02	1.86E-01	0.00E+00	1.86E-01	2.5E-02	5.1E-03
10	383	2.0E-02	-2.18E-01	-4.24E-02	-1.76E-01	2.4E-02	-3.9E-03
20	383	2.0E-02	-2.18E-01	-8.47E-02	-1.33E-01	2.3E-02	-2.9E-03
30	383	2.0E-02	-2.18E-01	-1.27E-01	-9.11E-02	2.2E-02	-1.9E-03
40	383	2.0E-02	-2.18E-01	-1.69E-01	-4.87E-02	2.1E-02	-1.0E-03
50	383	2.0E-02	-2.18E-01	-2.12E-01	-6.38E-03	2.0E-02	-1.3E-04
60	383	2.0E-02	-2.18E-01	-2.54E-01	3.60E-02	1.9E-02	7.1E-04
70	383	2.0E-02	-2.18E-01	-2.96E-01	7.83E-02	1.9E-02	1.5E-03
80	382.5	1.5E-02	-5.04E-01	-3.39E-01	-1.65E-01	1.8E-02	-2.7E-03
90	382.5	1.5E-02	-5.04E-01	-3.81E-01	-1.23E-01	1.7E-02	-2.0E-03
100	382.5	1.5E-02	-5.04E-01	-4.24E-01	-8.06E-02	1.6E-02	-1.3E-03
110	382.5	1.5E-02	-5.04E-01	-4.66E-01	-3.83E-02	1.6E-02	-5.9E-04
120	382.5	1.5E-02	-5.04E-01	-5.08E-01	4.08E-03	1.5E-02	6.1E-05
130	382	1.0E-02	-9.06E-01	-5.51E-01	-3.56E-01	1.4E-02	-4.3E-03
140	382	1.0E-02	-9.06E-01	-5.93E-01	-3.13E-01	1.4E-02	-3.7E-03
150	382	1.0E-02	-9.06E-01	-6.35E-01	-2.71E-01	1.3E-02	-3.1E-03
160	382	1.0E-02	-9.06E-01	-6.78E-01	-2.29E-01	1.3E-02	-2.6E-03
170	382	1.0E-02	-9.06E-01	-7.20E-01	-1.86E-01	1.2E-02	-2.1E-03
180	382	1.0E-02	-9.06E-01	-7.62E-01	-1.44E-01	1.2E-02	-1.6E-03
190	382	1.0E-02	-9.06E-01	-8.05E-01	-1.02E-01	1.1E-02	-1.1E-03
200	382	1.0E-02	-9.06E-01	-8.47E-01	-5.92E-02	1.1E-02	-6.2E-04
210	382	1.0E-02	-9.06E-01	-8.89E-01	-1.69E-02	1.0E-02	-1.7E-04
220	382	1.0E-02	-9.06E-01	-9.32E-01	2.55E-02	9.8E-03	2.5E-04
230	382	1.0E-02	-9.06E-01	-9.74E-01	6.78E-02	9.4E-03	6.6E-04
240	382	1.0E-02	-9.06E-01	-1.02E+00	1.10E-01	9.0E-03	1.1E-03
250	382	1.0E-02	-9.06E-01	-1.06E+00	1.53E-01	8.7E-03	1.4E-03
260	382	1.0E-02	-9.06E-01	-1.10E+00	1.95E-01	8.3E-03	1.8E-03
270	381.5	5.1E-03	-1.59E+00	-1.14E+00	-4.46E-01	8.0E-03	-2.9E-03
280	381.5	5.1E-03	-1.59E+00	-1.19E+00	-4.04E-01	7.6E-03	-2.5E-03
290	381.5	5.1E-03	-1.59E+00	-1.23E+00	-3.61E-01	7.3E-03	-2.2E-03
300	381.5	5.1E-03	-1.59E+00	-1.27E+00	-3.19E-01	7.0E-03	-1.9E-03
310	381.5	5.1E-03	-1.59E+00	-1.31E+00	-2.77E-01	6.7E-03	-1.6E-03
320	381.5	5.1E-03	-1.59E+00	-1.36E+00	-2.34E-01	6.4E-03	-1.3E-03
330	381.5	5.1E-03	-1.59E+00	-1.40E+00	-1.92E-01	6.2E-03	-1.1E-03
340	381.5	5.1E-03	-1.59E+00	-1.44E+00	-1.50E-01	5.9E-03	-8.2E-04
350	381.5	5.1E-03	-1.59E+00	-1.48E+00	-1.07E-01	5.7E-03	-5.8E-04
360	381.5	5.1E-03	-1.59E+00	-1.52E+00	-6.49E-02	5.4E-03	-3.4E-04
370	381.5	5.1E-03	-1.59E+00	-1.57E+00	-2.25E-02	5.2E-03	-1.2E-04
380	381.5	5.1E-03	-1.59E+00	-1.61E+00	1.99E-02	5.0E-03	1.0E-04
390	381.5	5.1E-03	-1.59E+00	-1.65E+00	6.22E-02	4.8E-03	3.1E-04
400	381.5	5.1E-03	-1.59E+00	-1.69E+00	1.05E-01	4.6E-03	5.1E-04
410	381.5	5.1E-03	-1.59E+00	-1.74E+00	1.47E-01	4.4E-03	7.0E-04
420	381.5	5.1E-03	-1.59E+00	-1.78E+00	1.89E-01	4.2E-03	8.8E-04
430	381.5	5.1E-03	-1.59E+00	-1.82E+00	2.32E-01	4.0E-03	1.1E-03
440	381.5	5.1E-03	-1.59E+00	-1.86E+00	2.74E-01	3.9E-03	1.2E-03
450	381.5	5.1E-03	-1.59E+00	-1.91E+00	3.16E-01	3.7E-03	1.4E-03
460	381.5	5.1E-03	-1.59E+00	-1.95E+00	3.59E-01	3.6E-03	1.5E-03
470	381.5	5.1E-03	-1.59E+00	-1.99E+00	4.01E-01	3.4E-03	1.7E-03
480	381.5	5.1E-03	-1.59E+00	-2.03E+00	4.43E-01	3.3E-03	1.8E-03
490	381.5	5.1E-03	-1.59E+00	-2.08E+00	4.86E-01	3.1E-03	2.0E-03
500	381	1.0E-04	-5.52E+00	-2.12E+00	-3.40E+00	3.0E-03	-2.9E-03
510	381	1.0E-04	-5.52E+00	-2.16E+00	-3.36E+00	2.9E-03	-2.8E-03
520	381	1.0E-04	-5.52E+00	-2.20E+00	-3.32E+00	2.8E-03	-2.7E-03
530	381	1.0E-04	-5.52E+00	-2.24E+00	-3.28E+00	2.6E-03	-2.5E-03
540	381	1.0E-04	-5.52E+00	-2.29E+00	-3.23E+00	2.5E-03	-2.4E-03
550	381	1.0E-04	-5.52E+00	-2.33E+00	-3.19E+00	2.4E-03	-2.3E-03
560	381	1.0E-04	-5.52E+00	-2.37E+00	-3.15E+00	2.3E-03	-2.2E-03
570	381	1.0E-04	-5.52E+00	-2.41E+00	-3.11E+00	2.2E-03	-2.1E-03
580	381	1.0E-04	-5.52E+00	-2.46E+00	-3.06E+00	2.1E-03	-2.0E-03
590	381	1.0E-04	-5.52E+00	-2.50E+00	-3.02E+00	2.1E-03	-2.0E-03
600	381	1.0E-04	-5.52E+00	-2.54E+00	-2.98E+00	2.0E-03	-1.9E-03
610	381	1.0E-04	-5.52E+00	-2.58E+00	-2.94E+00	1.9E-03	-1.8E-03
620	381	1.0E-04	-5.52E+00	-2.63E+00	-2.90E+00	1.8E-03	-1.7E-03
630	381	1.0E-04	-5.52E+00	-2.67E+00	-2.85E+00	1.7E-03	-1.6E-03

Valores obtidos
para análise do
vídeo e tratamento
deses dados

Tabela 7



Montando um gráfico de $\ln(\frac{\Delta L}{\Delta L_0})$ em função do tempo:



m	-0.00424	-0.09352	b
Δm	2.13E-04	0.050752	Δb
r^2	0.908049	0.167401	s_y

gráfico 7

Mais uma vez, escolhemos um ΔL_0 diferente, que está na tabela 8, O pra melhorar o ajuste

ΔL_0 (m)	0.025
k	-0.0042

tabela 8

$$\Delta L = 0,025 e^{-0,0042t}$$

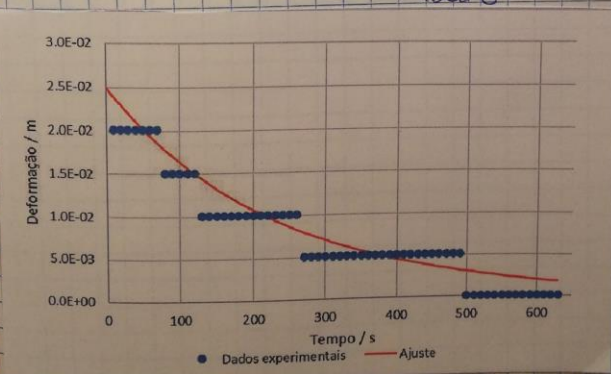


gráfico 8

Conclusões: 1- a borracha não obedece à lei de Hooke, mas apresenta um comportamento elástico

2- Há energia dissipada na histerese, o que faz com que o elástico tenha um comportamento diferente na carga e na descarga. Na carga, o perfil é elástico e na descarga, devido ao fato do ajuste.

3- Como a seção reta do borocho varia, não conseguimos determinar a tensão com exatidão, por isso, é mais adequado o uso de grandezas extensivas.